

**Figura 3.7.6.1.** Lokalizacja sondowań magnetotellurycznych na tle mapy topograficznej-podkład-Mapa Topograficzna Polski źródło:<http://mapy.geoportal.gov.pl/wss/service/img/guest/TOPO/MapServer/WMSServer> -rejon badań –Nagórnik, skala 1:25 000



OBJAŚNIENIA BARW I SYMBOLI

Torfy i namuly torfiaste

Osady rzeczne w ogólności

Gliny deluwialne z rumoszem skalnym

Żwiry i piaski rzeczne tarasów 2-6 m n.p. rzeki

Żwiry, piaski i rumosze gliniaste stożków aluwialnych

Żwiry i piaski wodnolodowcowe

Gliny zwałowe

Piaszkowce, mułowce i ilowce z wkładkami zlepieńców

Zlepieńce i łupki zielenicowe

Piaski i żwiry tarasów 2-5m n.p. rzeki

Żwiry, piaski gliny i mady tarasów 5-8 m n.p. rzeki (stadia Warty)

Gliny zwałowe na piaskach i żwirach wodnolodowcowych

Fanglomeraty i piaszkowce z wkładkami mułowców

Tufy przeważnie pizolitowe

Zwietrzliny czerwone

Łupki pstre - jednostka Cieszowa

Splity - jednostka Cieszowa

Łupki zlepieńcowate cienkowarstwowe miejscami łupki zielenicowe z wkładkami łupków serycytowych (łzs) - jednostka Dobromierza

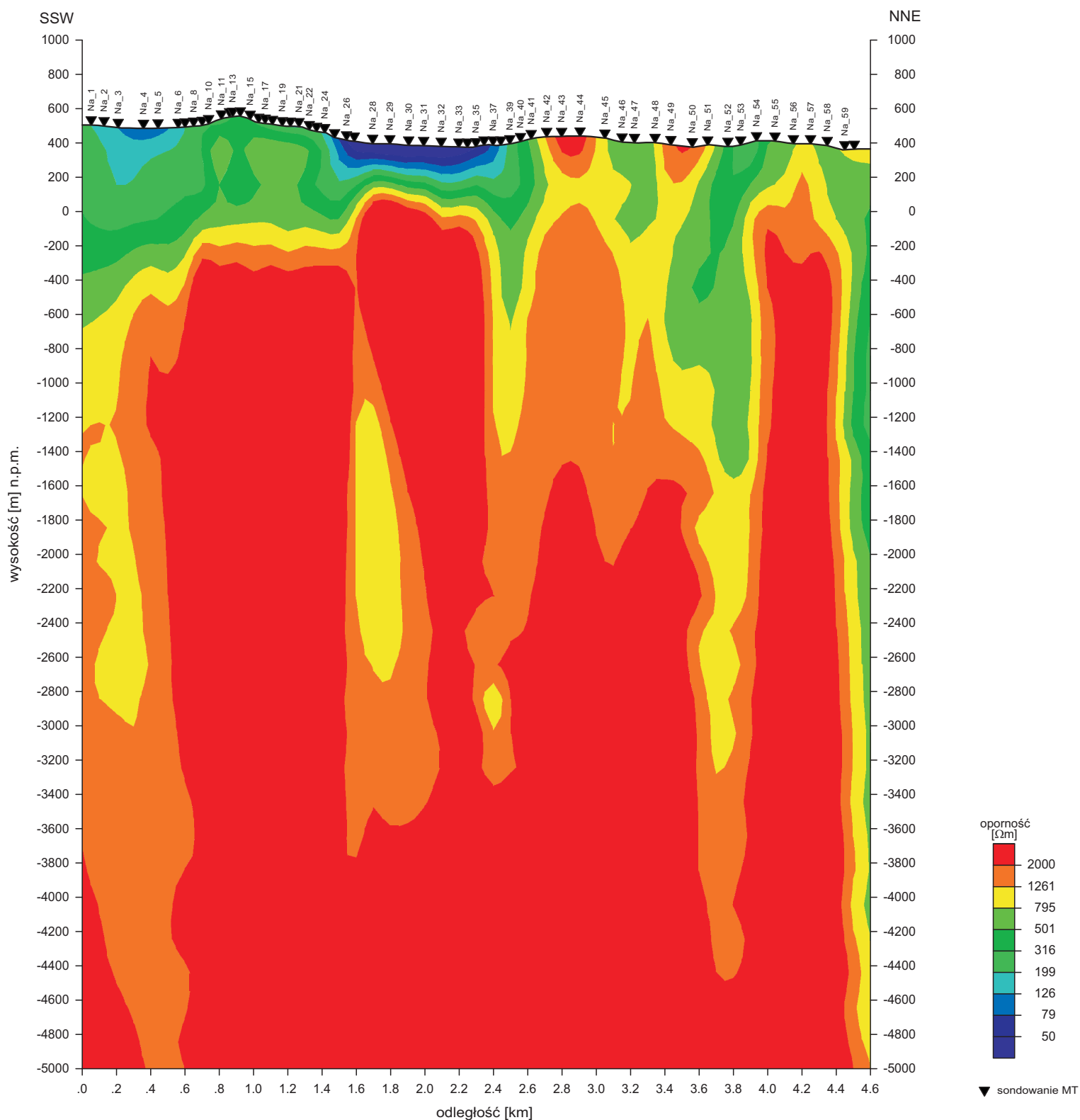
Łupki serycytowe i chlorytowe miejscami z wkładkami łupków zielenicowych - jednostka Dobromierza

Zieleńce masywne i gruboziarniste - jednostka Dobromierza

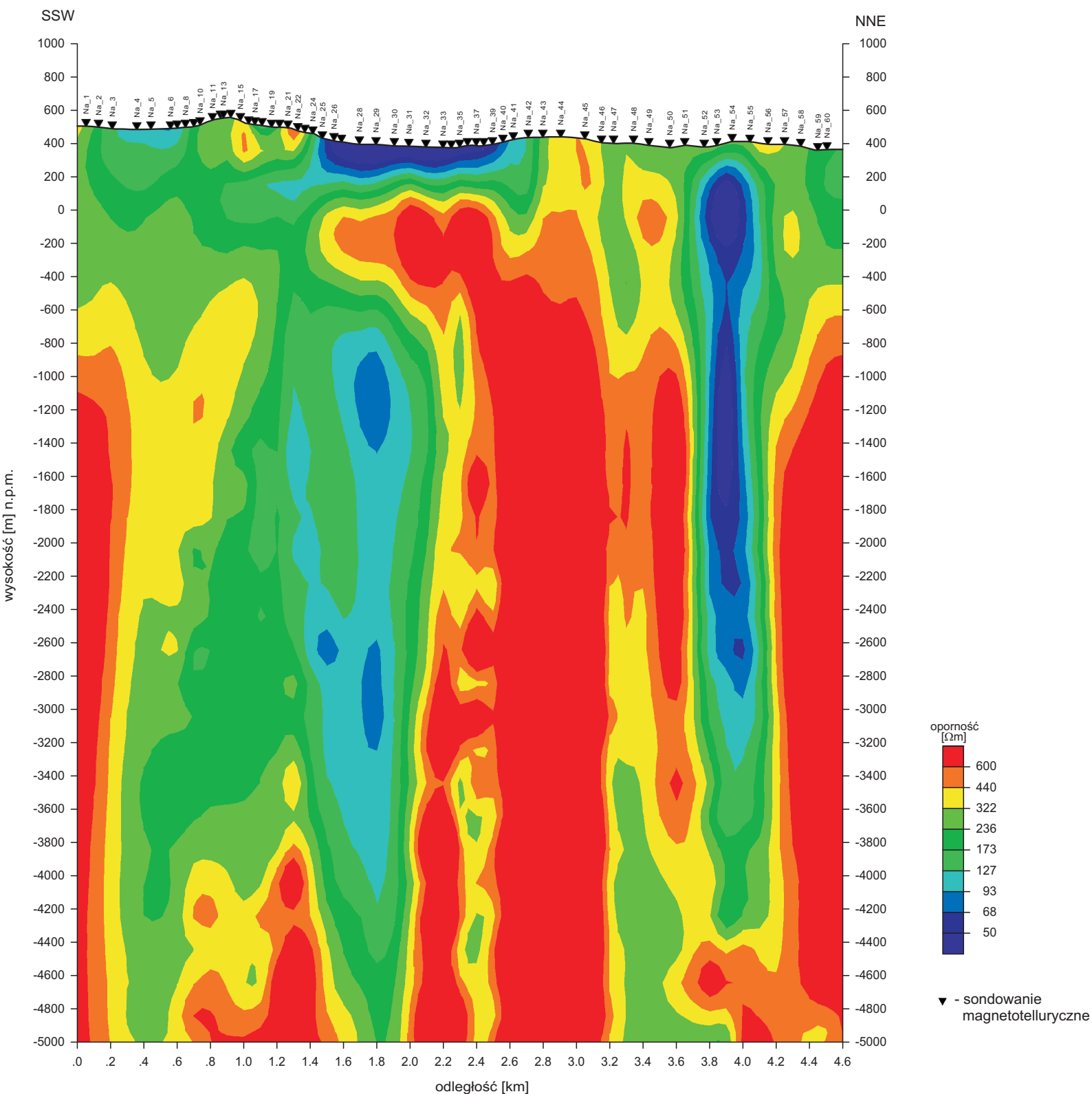
sondowanie magnetotelluryczne

profil magnetotelluryczny

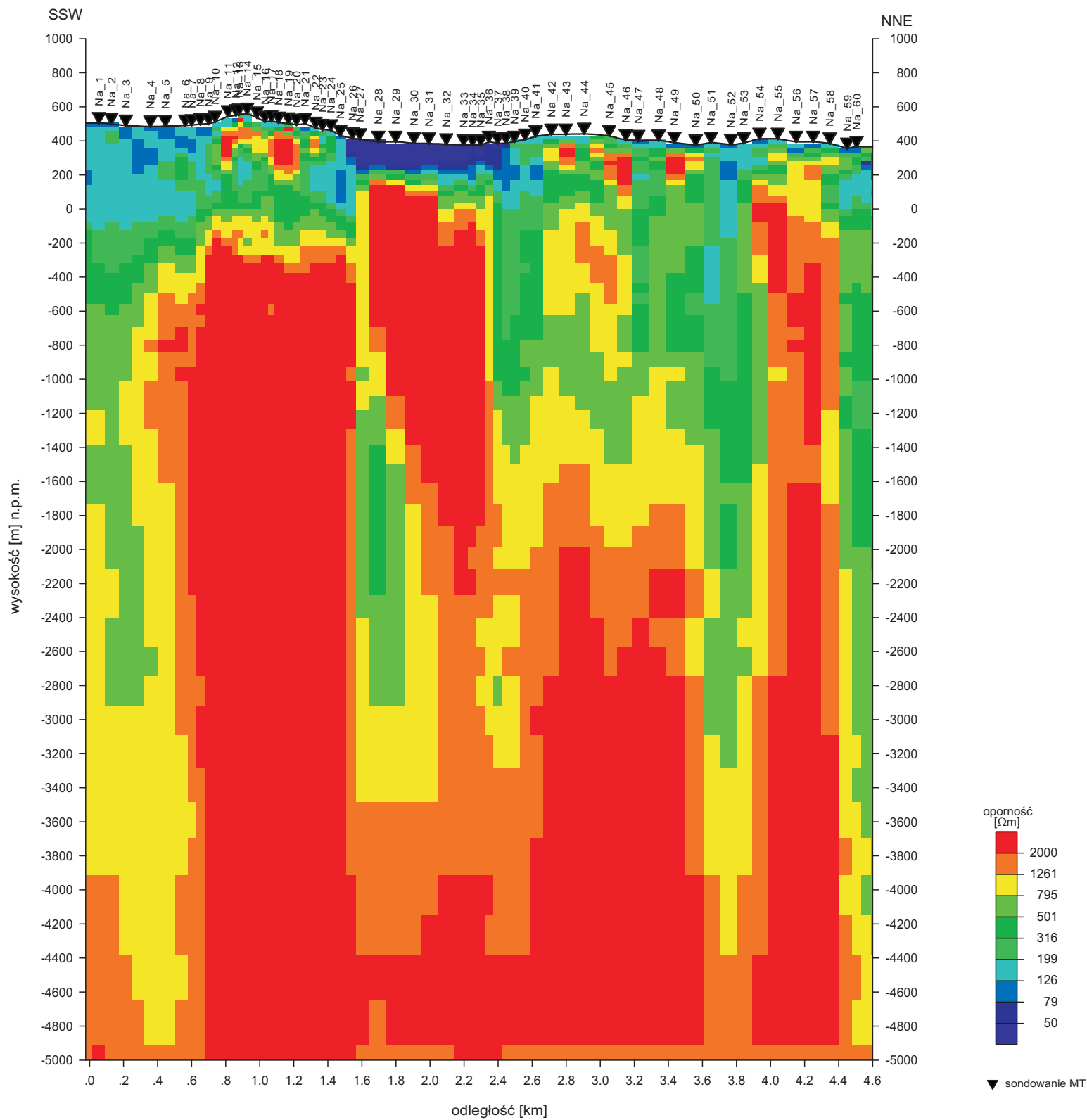
**Figura 3.7.6.2.** Lokalizacja sondowań magnetotellurycznych na tle Szczegółowej Mapy Geologicznej Sudetów - rejon: Wierchosławice i Nagórnik, fragment arkuszy: M-33-45-A-c MARCISZÓW opracowali: Z CYMERMAN, K. MASTALERZ-1994 r., i M-33-45-A-d STARE BOGACZOWICE, opracował-H. TEISSEYRE, 1969r., skala 1:25 000



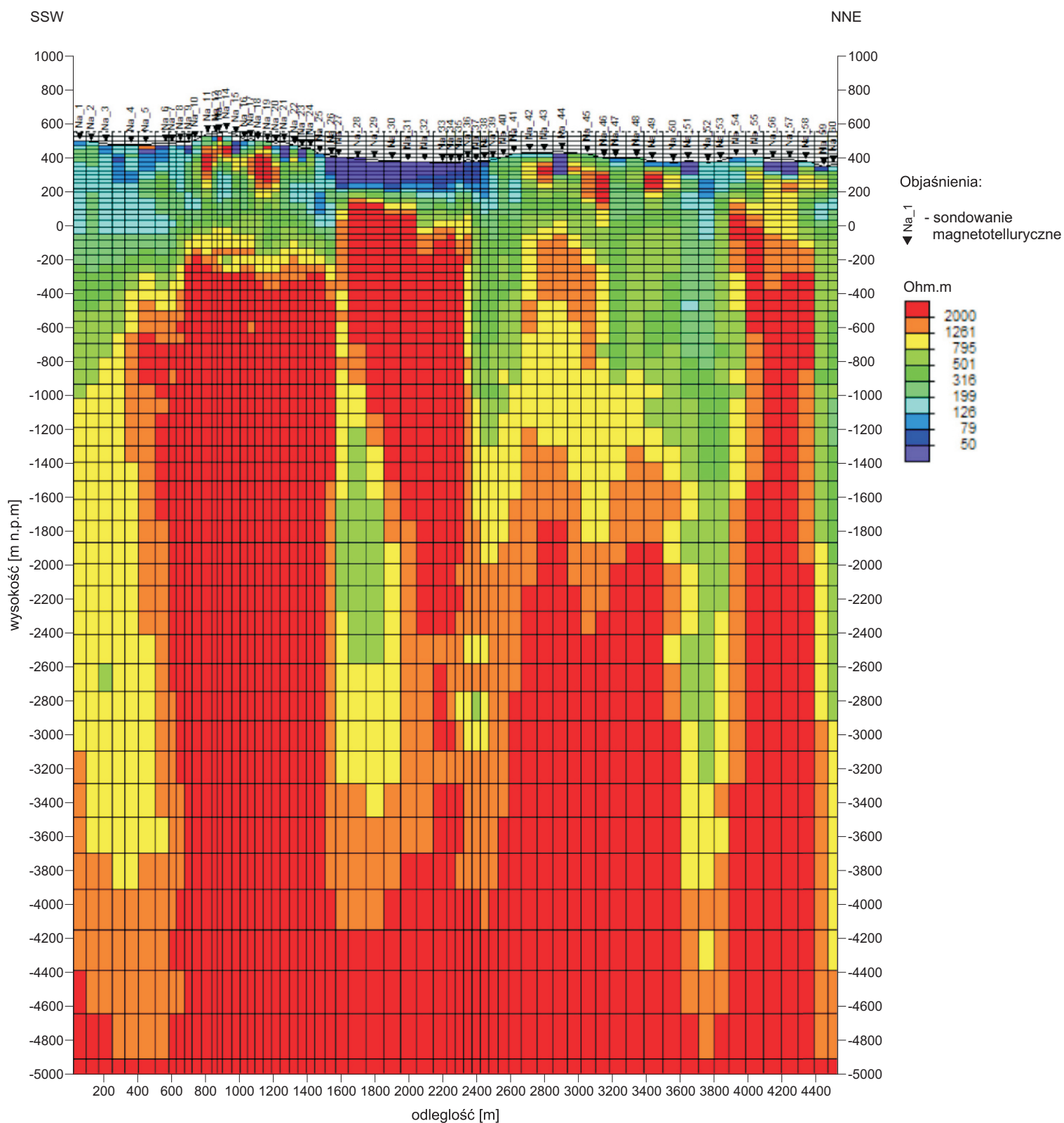
**Figura 3.7.6.3.** Rozkład oporności wzdłuż profilu 1-NA-18 Nagórník na podstawie inwersji 1D wg algorytmu Occama dla polaryzacji magnetycznej



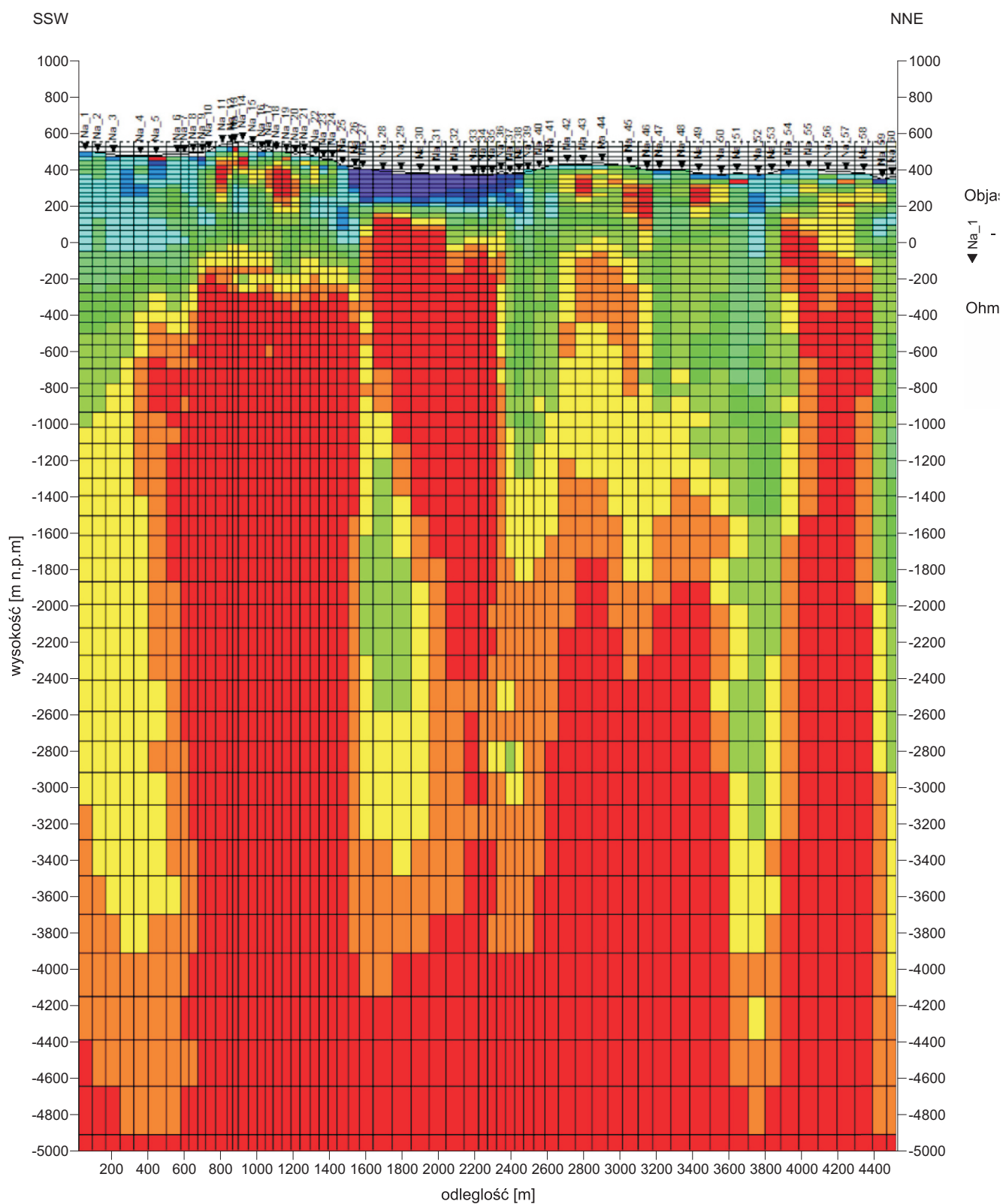
**Figura 3.7.6.4.** Rozkład oporności wzdłuż profilu 1-NA-18 Nagórník na podstawie inwersji 1D wg algorytmu Occama dla polaryzacji elektrycznej



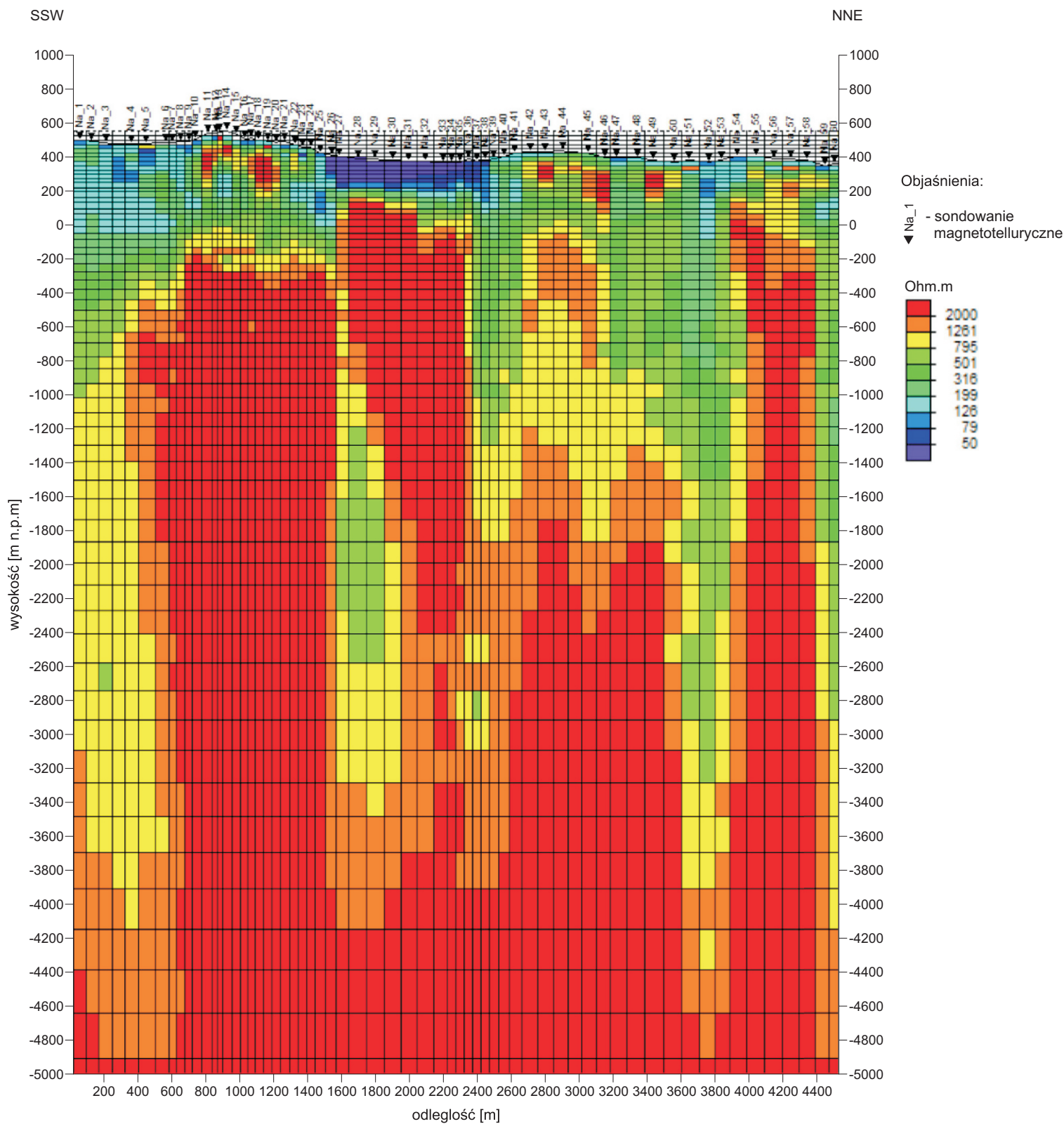
**Figura 3.7.6.5.** Rozkład oporności wzdłuż profilu 1-NA-18 Nagórník na podstawie inwersji 2D wg algorytmu NLCCG



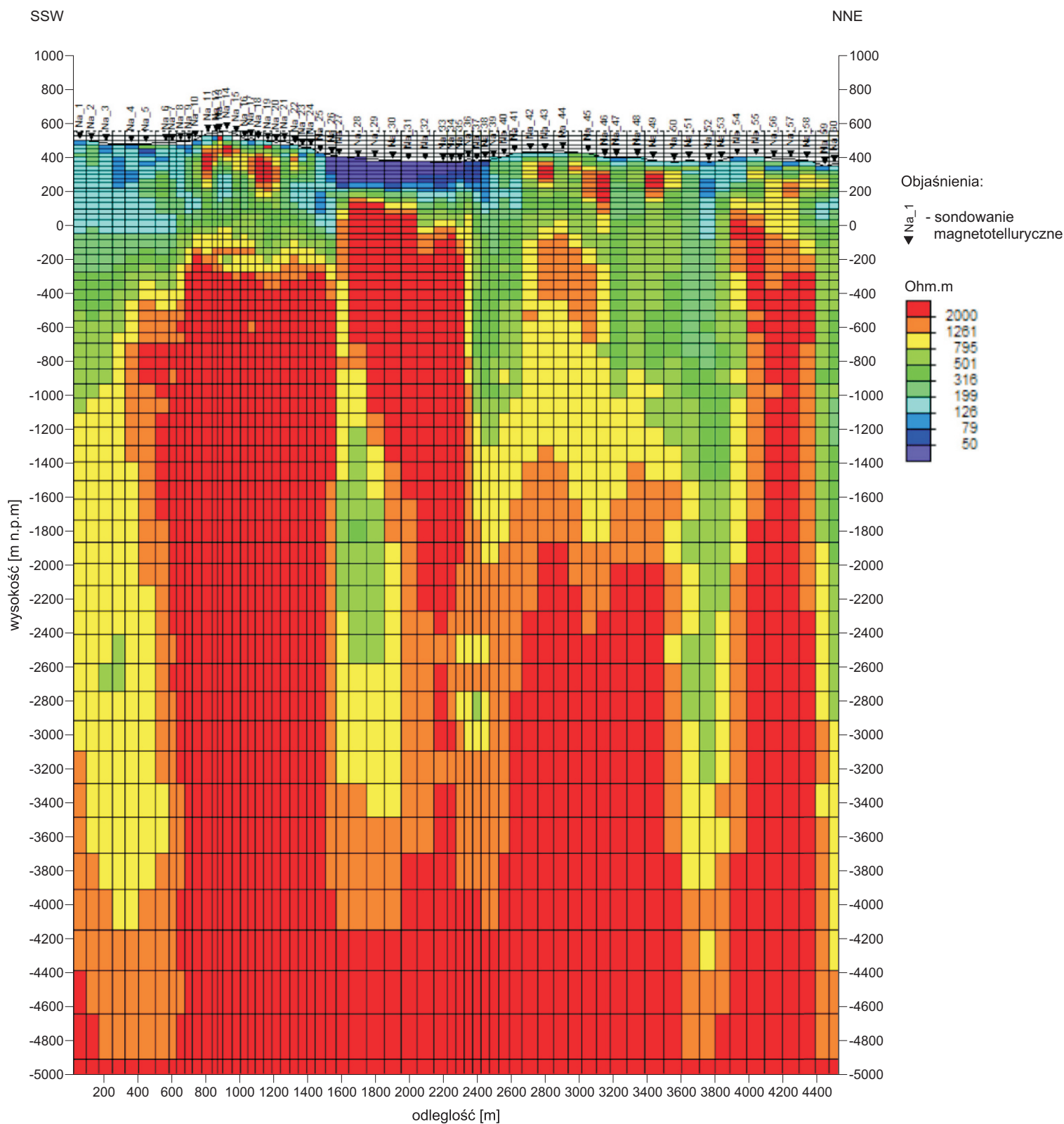
**Figura 3.7.6.6a** Rozkład oporności wzdłuż profilu 1-NA-18 Nagórník na podstawie inwersji 2D wg algorytmu NLGC (iteracja 2)



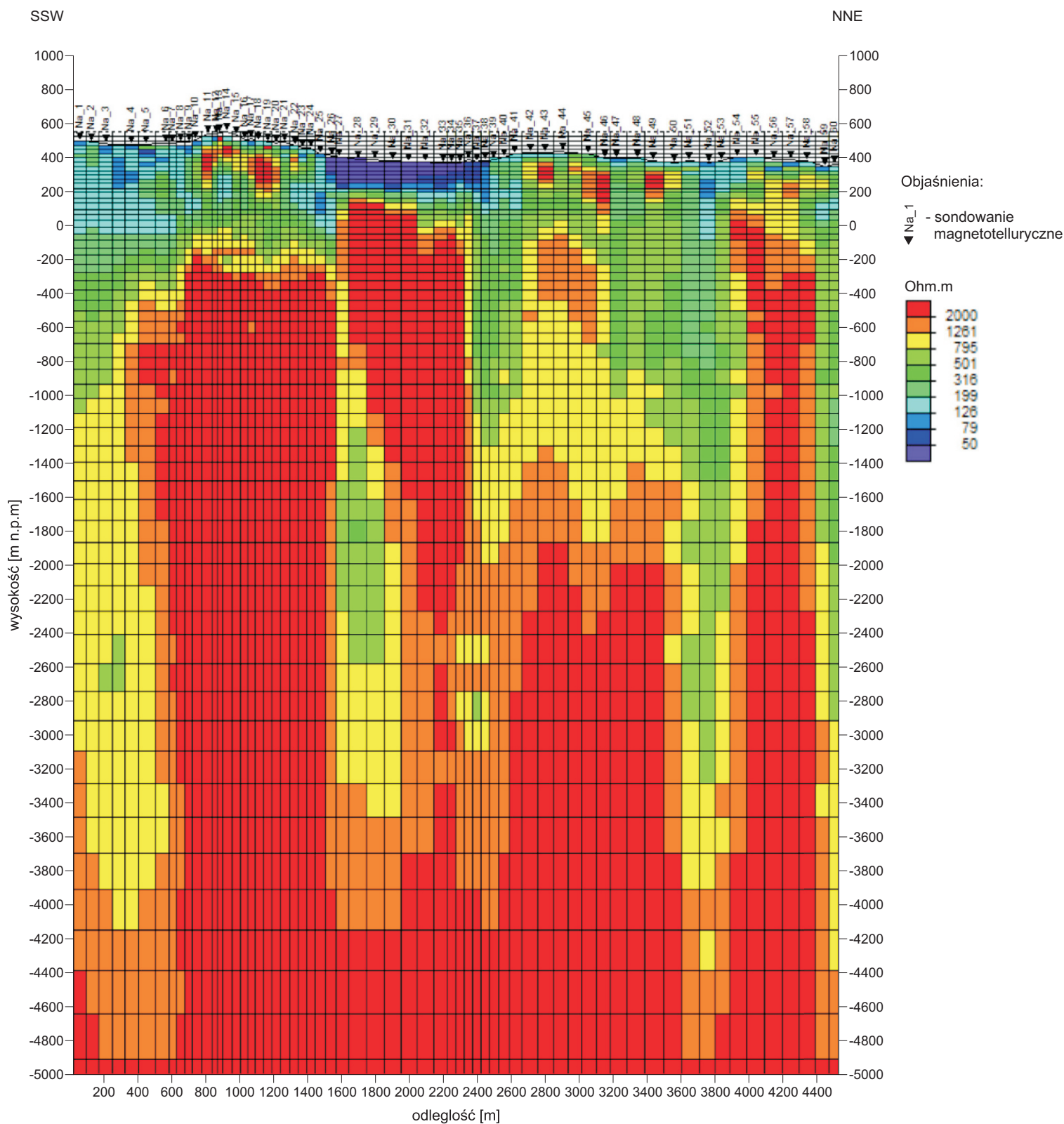
**Figura 3.7.6.6b** Rozkład oporności wzdłuż profilu 1-NA-18 Nagórnika na podstawie inwersji 2D wg algorytmu NLG (iteracja 4)



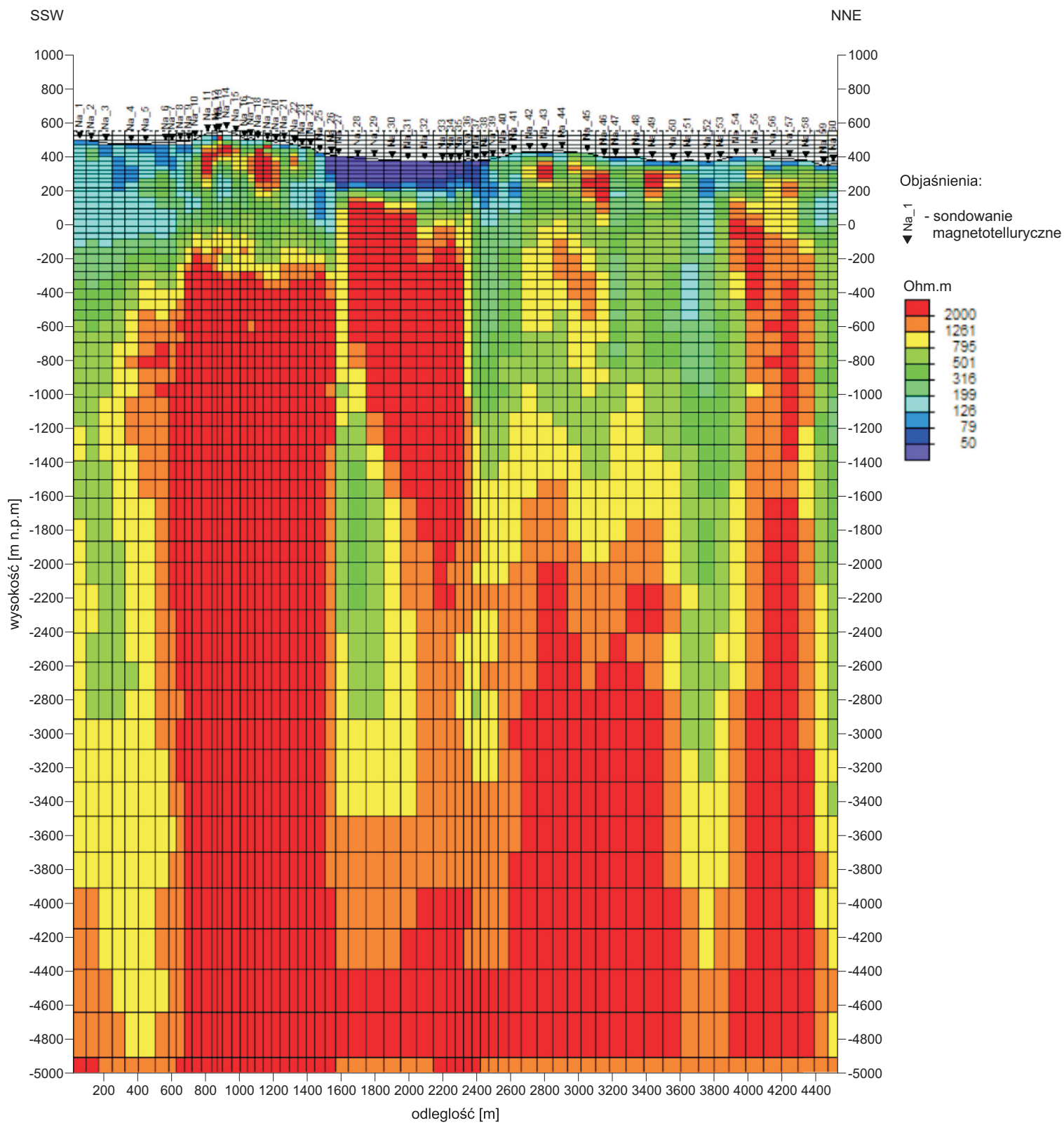
**Figura 3.7.6.6c** Rozkład oporności wzdłuż profilu 1-NA-18 Nagórník na podstawie inwersji 2D wg algorytmu NLCG (iteracja 6)



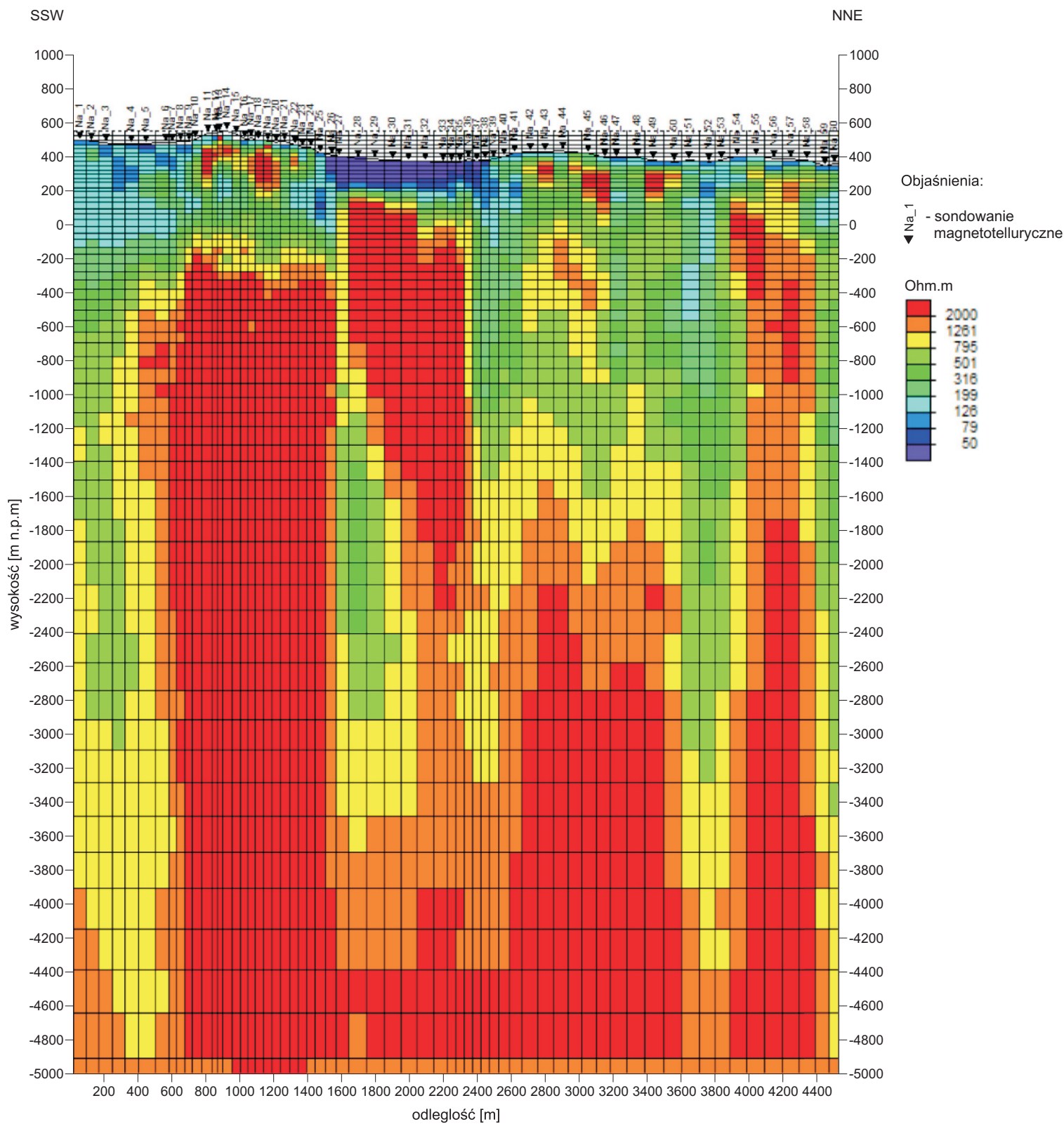
**Figura 3.7.6.6d** Rozkład oporności wzdłuż profilu 1-NA-18 Nagórník na podstawie inwersji 2D wg algorytmu NLCG (iteracja 8)



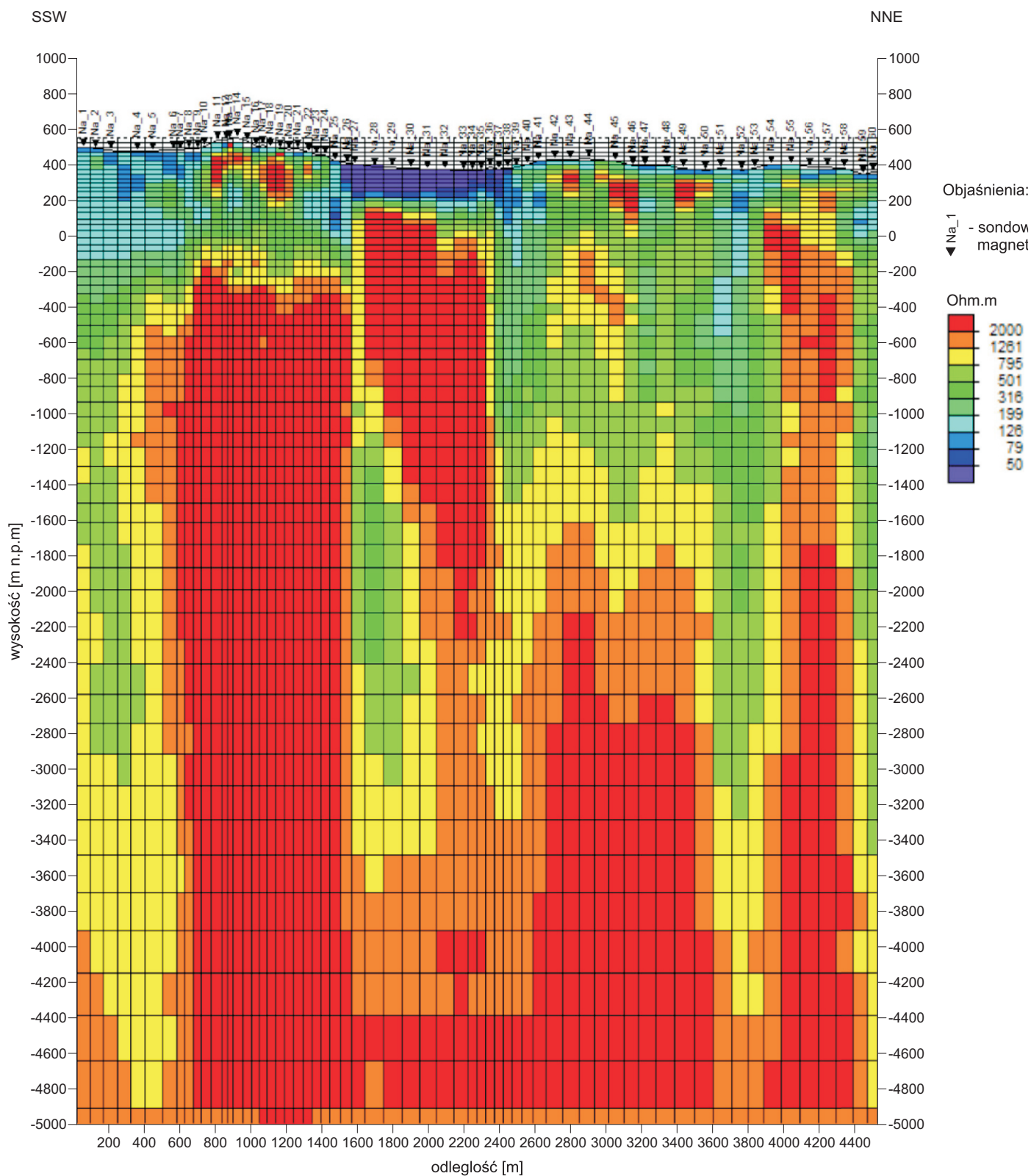
**Figura 3.7.6.6e** Rozkład oporności wzdłuż profilu 1-NA-18 Nagórník na podstawie inwersji 2D wg algorytmu NLCG (iteracja 10)



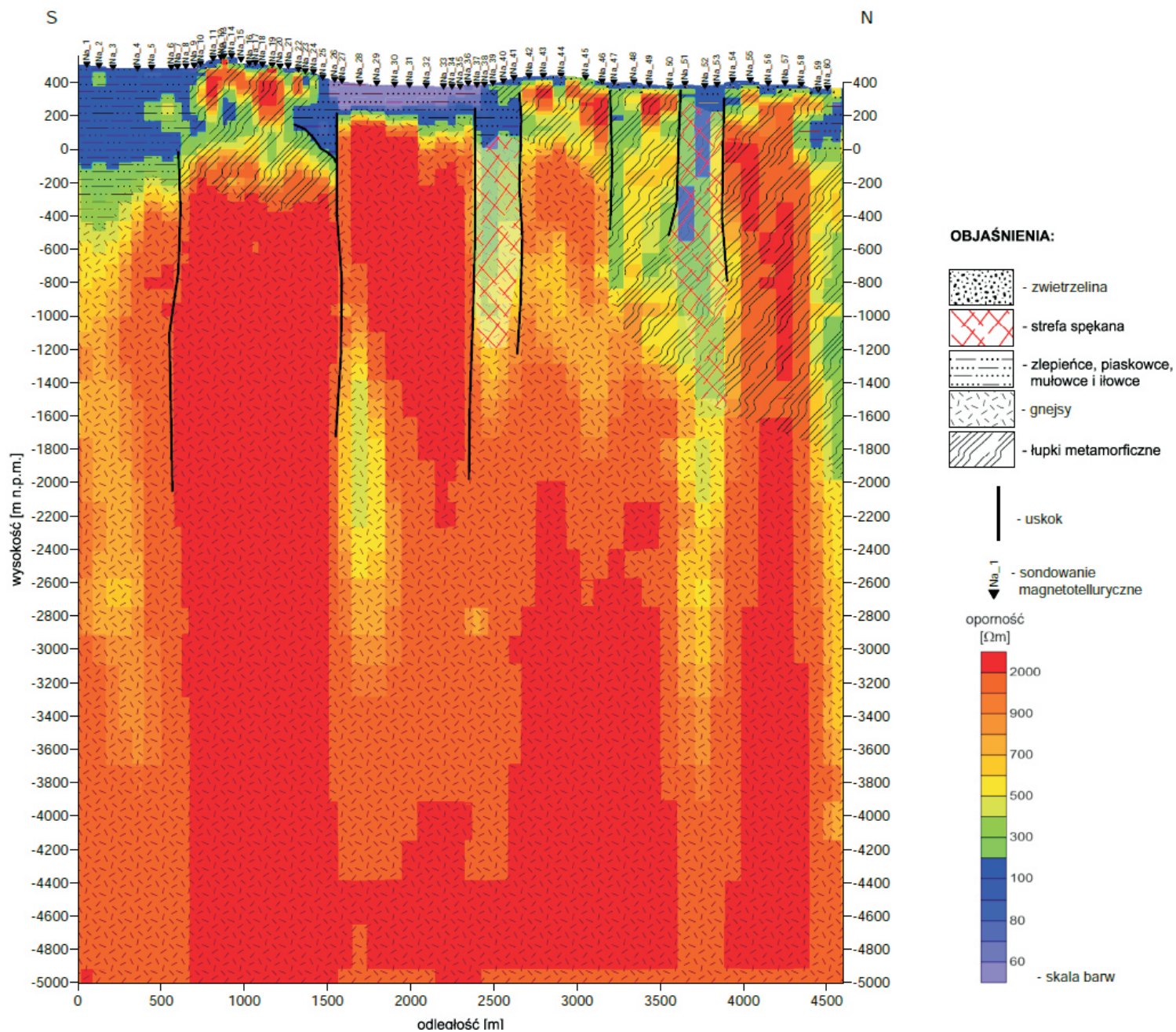
**Figura 3.7.6.6f** Rozkład oporności wzdłuż profilu 1-NA-18 Nagórník na podstawie inwersji 2D wg algorytmu NLGC (iteracja 12)



**Figura 3.7.6.6g** Rozkład oporności wzdłuż profilu 1-NA-18 Nagórník na podstawie inwersji 2D wg algorytmu NLCG (iteracja 14)



**Figura 3.7.6.6h** Rozkład oporności wzdłuż profilu 1-NA-18 Nagórnika na podstawie inwersji 2D wg algorytmu NLCG (iteracja 16)



**Figura 3.7.6.7.** Interpretacja geologiczna wzdłuż profilu 1-NA-18 Nagórnik wykonana na podstawie rozkładu oporności uzyskanego w wyniku inwersji 2D wg algorytmu NLCG oraz danych geologicznych